

Utjecaj uzdužne hrapavosti trake na proces hladnoga valjanja sa mazivima

Dušan Čučija*

UDK: 621.771.016 + 621.892 + 620.191.355
 ASM/SLA: F23, 1—67, 4—53, 9—71, 18—73

UVOD

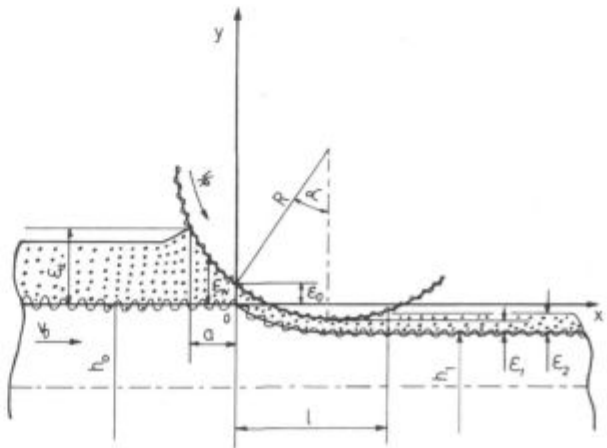
Proračun visine sloja maziva na ulaznom presijeku zone deformacije kod hladnoga valjanja među prvima je dao T. Mizuno [1]. Uvođenjem grube ali vješto odabrane aproksimacije dobio je riješenije diferencijalne jednadžbe, koje je u nekim područjima zahvatnih kuteva davalo dobre rezultate. A. P. Grudev [2] je nešto kasnije došao do istoga rezultata i eksperimentalno utvrdio da jednadžba Mizuna-Grudeva daje dobre rezultate za zahvatne kutove $0,05 \leq \alpha \leq 0,16$ rad. Kada kut zahvata $\alpha \rightarrow 0$, jednadžba Mizuna-Grudeva [1] čini veliku grešku.

$$\epsilon_0^M = \frac{3\mu_0\gamma (v_0 + v_R)}{\alpha (1 - e^{-\gamma p_0})} \quad (1)$$

To su otklonili autori [3] predloživši metodu linearizacije, koja je u odnosu na numeričku integraciju dala dobre rezultate za zahvatne kutove $0 \leq \alpha \leq 0,03$ rad. Doprinos određivanju sloja maziva kod hladnoga valjanja za zahvatne kutove $0,03 \leq \alpha \leq 0,05$ rad i slučaj glatkih površina valjaka i valjanoga materijala dat je u radu [4]. Stvorivši tako kombinirani metod za računanje visine sloja maziva na ulaznom presijeku zone deformacije autori [5] daju riješenja diferencijalne jednadžbe koja uzima u obzir utjecaj poprečne hrapavosti trake na visinu sloja maziva na ulaznom presijeku zone deformacije, slika 1. Odvojeno je razmatran i utjecaj visine sloja maziva na traci ispred valjaka ϵ_a na visinu sloja maziva na ulaznom presijeku zone deformacije ϵ_0 . U radu [6] promatran je utjecaj brzine valjanja na proces hladnoga valjanja sa mazivima. U ovom radu promatrati će se utjecaj uzdužne hrapavosti hladno valjane trake na ϵ_0 . Uzima se da je hrapavost valjaka iste orijentacije kao i trake. Daljnje pretpostavke su: inercija maziva se zanemaruje, mazivo se tretira kao nestišljivo i kao newtonov fluid, uvjeti tehnološkoga procesa su izotermni, ispred ulaza u zonu deformacije pretpostavljamo laminarni tok maziva, pretpostavljamo da nema prisilnoga proklizavanja između maziva i valjaka i maziva i trake, pretpostavljamo dobru adheziju između maziva i metalnih površina te da mazivo u zoni deformacije nema većih destrukcija.

RJEŠENJA DIFERENCIJALNE JEDNADŽBE

Gibanje maziva u Descartesovom sustavu prikazano je na slici 1 a opisuje se diferencijalnom jednadžbom



Slika 1.

Schema procesa hladnoga valjanja sa mazivima [5]

Fig. 1

The sheme of cold rolling process with greases [5]

[7, 8] koja uzima u obzir utjecaj uzdužne hrapavosti trake:

$$\frac{1}{6\mu(v_0 + v_R)} \left\langle \frac{dp}{dx} \right\rangle = \frac{\epsilon_N - \epsilon_0}{\langle \epsilon^3(x) \rangle} \quad (2)$$

Uzimajući slijedeće aproksimacije:

$$\langle \epsilon^3(x) \rangle \approx \epsilon_N^3 + 3\sigma^2 \epsilon_N \quad (3)$$

$$\mu = \mu_0 e^{\gamma p} \quad (4)$$

$$\epsilon_a \gg \epsilon_0 \quad (5)$$

$$\epsilon_N \approx \epsilon_0 - \alpha x + \frac{1}{2R} x^2 \quad (6)$$

i stavljajući ih u [2] dobili bi glomazna i nepraktična analitička rješenja. To se može izbjeći razvojem po σ u MacLaurinov red do zaključno kvadratnoga člana, pa slijede rješenja:

$$\alpha \rightarrow 0$$

$$\frac{32768 A^2}{\pi^2} (\epsilon_0^1)^7 - 256 R (\epsilon_0^1)^4 + 480 R \sigma^2 (\epsilon_0^1)^2 - 225 R \sigma^4 = 0 \quad (7)$$

$$105 AR^3 \alpha^7 - 56 R^2 \alpha^4 + 160 \sigma^2 = 0 \quad (8)$$

* Dušan Čučija, dipl. inž. metal., Sveučilište u Zagrebu, Metalurški fakultet, Sisak
 ** Originalno objavljeno: ZZ 22(1988)3
 *** Rokopis prejet: 1988-03-17

Koristeći rješenja date u radu [8] mogu se rješenja diferencijalne jednadžbe [2] pregledno prikazati u **tablici 1**. Tu je zadržana određena sistematika koja je postupno razvijana u radovima [4, 5]. Istaknimo da za slučaj glatkih površina valjaka i valjanoga materijala rješenja algebarskih jednadžbi prelaze u početna rješenja.

Tablica 1: Rješenja diferencijalne jednadžbe [2]

Kut zahvata	Metod	Algebarske jednadžbe	Polarna rješenja
$0 \leq \alpha < 0,03$	Linearna ili točke (0 : ϵ_0^1) (α^* , ϵ_0^*)	$\frac{32}{9} \frac{\gamma R^2}{\mu_0} (\epsilon_0^1)^3 - 256 \epsilon_0^1 (\epsilon_0^1)^2 + 160 \epsilon_0^1 \epsilon_0^1 - 256 R^2 = 0$ $\cos \alpha R^3 \epsilon_0^2 - 56 R^3 \epsilon_0^2 + 160 R^3 = 0$ $\epsilon_0^* = \frac{2}{3} R \alpha^2$	$\epsilon_0^* = \sqrt[3]{\frac{R^3 R}{128 A^3}}$ $\alpha^* = \sqrt[3]{\frac{9}{15 R A}}$ $A = \frac{r - \exp(-r A)}{\epsilon_0^1 + r (V_0 + \frac{1}{2})}$
$0,03 \leq \alpha \leq 0,05$	Polinomi	ϵ_0^1 funkcije vrijednosti ϵ_0 određene rješenjem uvjetne jednadžbe [8] $0,03$ $(\epsilon_{0m} + \epsilon_{0n}) / r$ $0,04$ $(\epsilon_{0m} + \epsilon_{0n} + r \epsilon_{0n}) / r^2$ $0,05$ $(\epsilon_{0m} + \epsilon_{0n} + r \epsilon_{0n} + r^2 \epsilon_{0n} + \epsilon_{0m}) / r^3$ $r^3 \epsilon_0^3 - r (\epsilon_{0m} + 2 \epsilon_{0n}) - (\epsilon_{0m} + \epsilon_{0n}) = 0$ (9)	Napomena ϵ_0^1 u monodim. supt. rješenju kutne jednadžbe [8], Mizuno-Grudeva $2 < r < 3$
$\alpha > 0,05$	Mizuno-Grudeva	$4 \alpha A (\epsilon_0^1)^3 - 2 (\epsilon_0^1)^2 + \epsilon_0^2 = 0$ $\epsilon_0^2 = \epsilon_0^1 (V) + \epsilon_0^1 (\epsilon)$	$\epsilon_0^* = \frac{r}{2 A \alpha}$

DISKUSIJA REZULTATA

Hrapavost površina pokorava se jednom od zakona raspodjele, najčešće normalnom zakonu raspodjele. Preko disperzije slučajne veličine σ postiže se veza sa oznakama hrapavosti koja po GOST-u iznosi:

$$R_g = \sigma \quad R_g = (1,1 - 1,2) R_z \quad R_z \approx 6 R_g$$

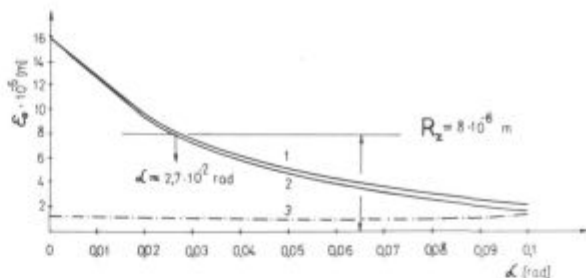
Diskusiju je najbolje popratiti primjerom. Neka su uvjeti tehnološkog procesa hladnoga valjanja sa mazivima slijedeći:

$$P_0 = 20 \cdot 10^6 \text{ Pa}, \mu_0 = 0,024 \text{ PaS}, \gamma = 0,218 \cdot 10^{-6} \text{ m}^2/\text{N}, R = 0,2 \text{ m}, v_R = 10 \text{ m/s}, v_0 = 0,6 v_R, R_z = 8 \cdot 10^{-6} \text{ m}, \epsilon_a \gg \epsilon_0 \quad (9)$$

Tablica 2: Sturmove funkcije po ϵ_0^1

$P(\epsilon_0^1) = 1,283 \cdot 10^{16} (\epsilon_0^1)^7 - 51,20 (\epsilon_0^1)^4 + 1,707 \cdot 10^{-10} (\epsilon_0^1)^2 - 1,422 \cdot 10^{-22}$
$\frac{dP(\epsilon_0^1)}{d(\epsilon_0^1)} = 8,981 \cdot 10^{15} (\epsilon_0^1)^6 - 204,8 (\epsilon_0^1)^3 + 3,414 \cdot 10^{-10} (\epsilon_0^1)$
$P_1(\epsilon_0^1) = 21,943 (\epsilon_0^1)^4 - 1,219 \cdot 10^{-10} (\epsilon_0^1)^2 + 1,422 \cdot 10^{-22}$
$P_2(\epsilon_0^1) = 204,8 (\epsilon_0^1)^3 - 2,190 \cdot 10^{-6} (\epsilon_0^1)^2 - 3,414 \cdot 10^{-10} (\epsilon_0^1) + 3,233 \cdot 10^{-18}$
$P_3(\epsilon_0^1) = 8,534 \cdot 10^{-11} (\epsilon_0^1)^2 - 4,460 \cdot 10^{-20} (\epsilon_0^1) - 1,422 \cdot 10^{-22}$
$P_4(\epsilon_0^1) = 1,089 \cdot 10^{-15} (\epsilon_0^1) + 2,379 \cdot 10^{-19}$
$P_5(\epsilon_0^1) = 4,073 \cdot 10^{-18}$

Uvrštavajući u Sturmove funkcije vrijednosti: $\epsilon_0^1 = 0$ slijede tri promijene predznaka [-0+ + - + +] a za $\epsilon_0^1 = 15,863 \cdot 10^{-6}$ nula promijena predznaka. U traženom intervalu algebarska jednadžba ima tri pozitivna korijena koji glase: $(\epsilon_0^1)_1 = 15,790 \cdot 10^{-6}$, $(\epsilon_0^1)_2 = 1,313 \cdot 10^{-6}$, $(\epsilon_0^1)_3 = 1,271 \cdot 10^{-6}$. Slično se dokazuje po Sturmovu teoremu da je broj pozitivnih korijena po α^* dva i po ϵ_0^1 također dva. Druga generacija pozitivnih korijena suprotna je fizičkoj slici procesa. Prema **slici 2** vidimo da uzdužna hrapavost trake smanjuje visinu sloja maziva na ulaznom presijeku zone deformacije u odnosu na glatke površine valjaka i valjanoga materijala. Matematički je taj efekat slabo izra-



Slika 2.

Ovisnost debljine sloja maziva na ulaznom presijeku zone deformacije o zahvatnom kutu

1. $R_z = 0$ ($r = 2,775$)
2. $R_z = 8 \cdot 10^{-6} \text{ m}$ ($r = 2,814$)
3. druga generacija pozitivnih korijena algebarskih jednadžbi

Fig. 2

Dependence of grease layer height at inlet section of the deformation zone on gripping angle α

1. $R_z = 0$ ($r = 2,775$)
2. $R_z = 8 \cdot 10^{-6} \text{ m}$ ($r = 2,814$)
3. The second generation of positive roots of the algebraic equations

Na **slici 2** predstavljena je ovisnost ϵ_0 u funkciji zahvatnoga kuta. Krivulji 1 odgovaraju glatke površine valjaka i valjanoga materijala a krivulji 2 uzdužna hrapavost valjanoga materijala. Krivulja 3 predstavlja drugu generaciju pozitivnih korijena algebarskih jednadžbi. Ona se može odrediti po Decartesovom pravilu i Sturmovu teoremu. Algebarska jednadžba po ϵ_0^1 može imati sedam korijena. Nas interesiraju pozitivni korijeni u zatvorenom intervalu $0 \leq \epsilon_0^1 \leq 15,863 \cdot 10^{-6}$, to jest rješenja koja leže ispod krivulje 1. Iznad krivulje 1 nema realnih rješenja. Po Decartesovom pravilu nalazimo da je broj promijena predznaka u slogu koeficijenata polinoma $P(\epsilon_0^1)$ tri. To znači da algebarska jednadžba može imati: jedan, tri ili pet pozitivnih korijena. Broj pozitivnih korijena odredit ćemo po Sturmovu teoremu i u **tablici 2** formiran je red Sturmovih funkcija po ϵ_0^1 .

žen što se slaže i sa eksperimentalnim mjerenjem [9, str. 40]. Nadalje možemo zaključiti da za sve uslove tehnološkoga procesa ne bi imali hidrodinamičko trenje u području svih zahvatnih kutova.

Već za $\alpha > 2,7 \cdot 10^{-2}$ rad, visina sloja maziva ϵ_0 manja je od hrapavosti površina. Ako bi se tehnološki proces odvijao u području zahvatnoga kuta $\alpha = 0,06$ rad tada bi morali povećati ϵ_0 . Ako nismo u mogućnosti tražiti druga svojstva maziva, potrebno je povećati brzinu valjanja sa $v_R = 10 \text{ m/s}$ na $v_R = 21,550 \text{ m/s}$. Tada bi $\epsilon_0 = R_z$ i bili bi u području graničnoga trenja kada debljina mazivoga filma teži monomolekularnom sloju, iako se preko formule (16) može postaviti uvijet i na »suho« trenje:

$$\left(-\frac{1}{216 \alpha^3 A^3} + \frac{\sigma^2}{8 \alpha A} \right)^2 = \left(\frac{1}{36 \alpha^2 A^2} \right)^3 \quad (10)$$

dakle se dobiva:

$$R_z^{Gr} = 2\sqrt[6]{6/3 \alpha A} \quad (11)$$

Jednadžba Mizuna-Grudeva pokriva područja zahvatnih kuteva $\alpha \geq 0,05$ rad. Potrebno je za svaki novi kut zahvata tražiti njezina rješenja. Da se taj proračun olakša može se primjeniti Lagrangeov diferencijalni teorem koji u konačnom obliku glasi:

$$\alpha_{i+1} = \frac{\lambda [3 \sigma^2 - 2 \epsilon_m^2]}{4 A \epsilon_m^4} + \alpha_i \quad (12)$$

gdje je:

$$\lambda = \epsilon_i - \epsilon_{i+1}; \quad \epsilon_m = (\epsilon_i + \epsilon_{i+1})/2$$

Kako se zbog uvjetne jednadžbe (15) u poligonalnoj metodi uvijek traži rješenje kubne jednadžbe (16) za $\alpha = 0,05$ rad, to je u (12) $\alpha_i = 0,05$ rad, za ϵ_i pripadno rješenje kubne jednadžbe.

Uzmimo $\epsilon_i = 4,899 \cdot 10^{-6}$ m a to je rješenje kubne jednadžbe (16) za $\alpha = 0,05$ rad, pri $R_z = 8 \cdot 10^{-6}$ m, i neka je korak $\lambda = -0,5 \cdot 10^{-6}$ m.

Pomoću jednadžbe (12) dolazimo do $\epsilon_0^M = 1,899 \cdot 10^{-6}$ za $\alpha = 10,130 \cdot 10^{-2}$ rad. Kubna jednadžba (16) daje za $\alpha = 10,130 \cdot 10^{-2}$ rad, $\epsilon_0^M = 1,879 \cdot 10^{-6}$ m. Od polaznoga α , udaljili smo se 0,05 rad a da je pri tome greška formule (12) u odnosu na rješenje kubne jednadžbe (16) samo 1 %. Ako bi uzeli još manji korak λ i greška bi bila još manja. Oдавde možemo zaključiti da se Lagrangeov diferencijalni teorem može uspješno primjeniti za rješava-

nje kubne jednadžbe (16) u području zahvatnih kutova $\alpha > 0,05$ rad, uz poznavanje rješenja za $\alpha = 0,05$ rad. Može se primjeniti i Newtonov metod koji u prvj aproksimaciji daje:

$$(\epsilon_0^M)_N = \epsilon_0^M \left[1 - \frac{1}{2} \left(\frac{\sigma}{\epsilon_0^M} \right)^2 \right] \quad (13)$$

PRIMIЈENA INTERPOLACIJSKIH POLINOMA

Prema **tablici 1** vidljivo je da u pojedinim područjima zahvatnih kuteva koristimo više metoda za proračun ϵ_0 . Praktični interes predstavlja iskazivanje funkcijske ovisnosti $\epsilon_0 = \epsilon_0(\alpha)$ i $\epsilon_0 = \epsilon_0(v_R)$ u širem intervalu nezavisno promijenljive veličine (α ili v_R). Dobiveni proračuni ϵ_0 po **tablici 1** mogu se tada objediniti interpolacijskim polinomom čiji stupanj ovisi o točnosti koju postavljamo na proračun ϵ_0 (uzimanjem širih ili užih intervala) te mogućnostima variranja tehnoloških parametara (brzinu valjanja moći ćemo varirati u širem intevalu nego zahvatni kut). Postoje brojne matematičke mogućnosti određivanja koeficijenata interpolacijskih polinoma od kojih je jedna predstavljena u **tablici 3** za ekvidistantne točke. Tu su definirane derivacije u polaznoj točki do zaključno petoga stupnja polinoma. Ako je polazna točka (0; ϵ_0^i) ili (0; 0) izračunate derivacije se direktno uvrstavaju u Mac-Laurinov red, za druge slučajeve u Taylorov red. Taylorov red može se zaobići integracijom na polaznu točku, odakle se određuju konstante integracije [10]. Popratimo to konkretnim primjerom. Neка je tehnološki proces određen sa: $A = 8,550 \cdot 10^5 \text{ m}^{-1}$, $R = 0,1$ m, $\epsilon_a \gg \epsilon_0$, $R_z \approx 0$. Prema **tablici 1** izračunat je ϵ_0 za ekvidistantne točke, па tablica razlike izgleda ovako:

α	ϵ_0	$\Delta \epsilon_0$	$\Delta^2 \epsilon_0$	$\Delta^3 \epsilon_0$	$\Delta^4 \epsilon_0$
0	21,931 10^{-6}	- 5,419 10^{-6}	5,5 10^{-7}	1,381 10^{-6}	- 2,221 10^{-6}
0,02	16,512 10^{-6}	- 4,869 10^{-6}	1,931 10^{-6}	- 8,4 10^{-7}	
0,04	11,643 10^{-6}	- 2,938 10^{-6}	1,091 10^{-6}		
0,06	8,705 10^{-6}	- 1,847 10^{-6}			
0,08	6,858 10^{-6}				

Tablica 3: Derivacije algebarskih polinoma u polaznoj točki

Stupanj polinoma				
Prvi	Drugi	Treći	Četvrti	Peti
$y' = \frac{1}{\Delta x} (\Delta y_1 - \frac{1}{2} \Delta^2 y_1 + \frac{1}{3} \Delta^3 y_1 - \frac{1}{4} \Delta^4 y_1 + \frac{1}{5} \Delta^5 y_1)$				
$y'' = \frac{1}{(\Delta x)^2} (\Delta^2 y_1 - \Delta^3 y_1 + \frac{11}{12} \Delta^4 y_1 - \frac{5}{6} \Delta^5 y_1)$				
$y''' = \frac{1}{(\Delta x)^3} (\Delta^3 y_1 - \frac{3}{2} \Delta^4 y_1 + \frac{7}{4} \Delta^5 y_1)$				
$y^{IV} = \frac{1}{(\Delta x)^4} (\Delta^4 y_1 - 2 \Delta^5 y_1)$				
$y^V = \frac{1}{(\Delta x)^5} \Delta^5 y_1$				

Prema **tablici 3** derivacije u polaznoj točki su: $\epsilon_0^i = -2,3392 \cdot 10^{-4}$, $\epsilon_0^{II} = -7,167 \cdot 10^{-3}$, $\epsilon_0^{III} = 5,8906 \cdot 10^{-1}$, $\epsilon_0^{IV} = -13,881$

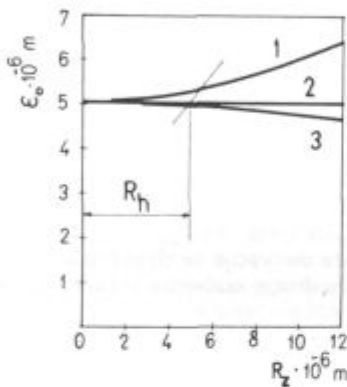
što uvrštenjem u Mac-Laurinov red daje polinom četvrtoga stupnja:

$$\varepsilon_0 = 21,931 \cdot 10^{-6} - 2,3392 \cdot 10^{-4} \alpha - (7,167 \cdot 10^{-3}/2) \alpha^2 + (5,8906 \cdot 10^{-1}/6) \alpha^3 - (13,881/24) \alpha^4 \quad (14)$$

Vidimo da je na jednostavan način zaobiden sistem od pet linearnih jednačbi ili determinanta petoga reda. Pa ipak ovaj primjer primjene obično se ne susreće u literaturi koja tretira to područje [11, 12].

PRAKTIČNI INTERES DOBIVENIH REZULTATA

Uzmimo iste uslove primijera kao za sliku 2 a koji su definirani izrazom (9). Napravimo komparaciju između rješenja za poprečnu hrapavost, datih u radu (5) i rješenja za uzdužnu hrapavost datih u ovom radu. Analitička rješenja na slici 3 daju tri krivulje. Vidimo da za isti R_z poprečna hrapavost ima daleko veći utjecaj na ε_0 nego



Slika 3.

Utjecaj hrapavosti površine trake na ε_0 za $\alpha = 0,05$ rad

1. poprečna hrapavost
2. glatke površine ($R_z = 0$)
3. uzdužna hrapavost

Fig. 3

Influence of the roughness strip on ε_0 for $\alpha = 0,05$ rad

1. transverse roughness
2. smooth surface ($R_z = 0$)
3. longitudinal roughness

uzdužna hrapavost. Sa R_h označeno je područje na slici 3 koje osigurava režim hidrodinamičkog trenja. Poprečna hrapavost hidrodinamičko trenje pomijera u desno, jer povećava ε_0 u odnosu na glatke površine valjaka i valjanoga materijala, što je na slici 3 istaknuto kosom crtom. Odavde slijedi praktični interes da ćemo na traku koja ima veliku otpornost prema deformaciji nanositi poprečnu hrapavost. Nadalje se može utjecati i na stabilnost procesa kontinuirano hladno valjane trake na spojnim mjestima koja se zavaruju. Ako var ima veću otpornost deformaciji od trake tada ćemo na njega nanositi poprečnu hrapavost koja će povećati visinu sloja maziva na ulaznom presijeku zone deformacije. Tako ćemo sniziti koeficijent trenja i samim tim isključiti neželjeni skok pritiska metala na valjke zbog razlike u otpornosti prema deformaciji između vara i trake.

Logično u obrnutom slučaju, ako var na spojnim mjestima trake ima manju otpornost prema deformaciji od trake, na njega ćemo nanositi uzdužnu hrapavost. Na ovu mogućnost skrenuta je pažnja i u radu (13).

ZAKLJUČAK

Primijena maziva u plastičnoj deformaciji metala predstavlja najveću intenzifikaciju u metalnoj proizvodnji, posebno u procesima hladnog oblikovanja metala. Brojni

su efekti koji se postižu primjenom maziva a neki su još nedovoljno istraženi i objašnjeni. Proces trenja neposredno određuje stanje i kvalitet obrađenih površina na instrumentima gdje veliki utjecaj imaju upravo maziva. Da bi u zoni deformacije mogli odrediti vrstu trenja potrebno je pronaći matematički put za proračun debljine mazivoga filma.

U radu je analiziran utjecaj uzdužne hrapavosti hladno valjane trake (hrapavost valjaka je iste orijentacije kao i trake) na proces hladnoga valjanja sa mazivima. Uzdužna hrapavost trake smanjuje visinu sloja maziva na ulaznom presijeku zone deformacije u odnosu na glatke površine valjaka i valjanoga materijala. Međutim taj efekt nije tako izražen kao kod poprečne hrapavosti koja u znatno većoj mjeri povećava visinu sloja maziva na ulaznom presijeku zone deformacije za isti R_z . Data rješenja mogu se kombinirati sa rješenjima za poprečnu hrapavost pa se mogu obuhvatiti i složeni proračuni visine mazivoga filma: naprimjer za uzdužnu hrapavost trake i uzdužnu hrapavost valjaka. U tome kontekstu posebno mjesto zauzima proračun mazivoga filma za glatke površine valjaka i valjanoga materijala na što je autor ukazao djelomično i u radu (6).

Trenje koje je u plastičnoj deformaciji metala jedino poželjno kod procesa valjanja donekle i ograničava primjenu maziva u tehnološkom procesu i zahtijeva rafinirani pristup ovoj problematici. U tome kontekstu i mehanika fluida nalazi primjenu preko poznatih diferencijalnih jednačbi O. Reynoldsa u koje se ugrađuju parametri hrapavosti.

Povratni tok maziva na ulaznom presijeku zone deformacije ovdje nije razmatran, on je u principu nepoželjan i ne može se izbjeći. Njegova pozitivna strana vezana je za emulzije, jer uzrokuje turbulenciju u području $(-a; 0)$, slika 1 što je za emulzije poželjno, naročito ako ne dodajemo ili ne uspijevamo pronaći dobre površinski aktivne tvari što je već područje koloidne kemije.

Dokazano je preko Sturmogovog teorema da algebarske jednačbe od više rješenja imaju samo jedno koje odgovara fizičkoj slici procesa. Data je i primijena Lagrangeovog diferencijalnog teorema te neke olakšice kod određivanja koeficijenata interpolacijskih polinoma.

POPIS SIMBOLA

1. $\langle \rangle$ — operator matematičkoga očekivanja
2. μ i μ_0 — dinamička viskoznost maziva ovisna o pritisku [Pa·s]
3. γ — piezokoeficijent viskoznosti [m^2/N]
4. v_0 i v_R — brzina trake i brzina valjanja [m/s]
5. $\varepsilon(x) = \varepsilon_N + [\sigma_v(x) + \sigma_t(x)]$ — visina sloja maziva u području $[-a; 0]$ [m]
6. $\varepsilon_N = \varepsilon_0 + R[\cos \alpha - \sqrt{1 - (\sin \alpha - x/R)^2}] \approx \varepsilon_0 - \alpha x + \frac{1}{2R} x^2$ — nominalna debljina sloja maziva
7. $\sigma_v(x) + \sigma_t(x)$ — slučajna debljina maziva uslovljena hrapavosti valjaka i trake.
8. ε_0 — debljina maziva na ulaznom presijeku zone deformacije [m]
9. ε_a — debljina sloja maziva na traci ispred valjaka [m]
10. ε_1 i ε_2 — debljina maziva u području maksimalnog pritiska valjaka i na izlazu iz zone deformacije [m]
11. ε_0^1 ; ε_0^M ; ε_0^1 ; $\varepsilon_{0,01}$ i $\varepsilon_{0,02}$ — debljina sloja maziva kada $\alpha \rightarrow 0$, po formuli Mizuna-Grudeva, karakteristična debljina koja sa α^* omogućava linearizaciju, i debljina za zahvatne kuteve $\alpha = 0,01$ i $\alpha = 0,02$ rad

- 12. R i r — radijus valjaka i koeficijent poligonalne metode
- 13. h_0 i h_1 — debljina trake prije i poslije deformacije [m]
- 14. α i α^* — kut zahvata i karakteristični kut vezan uz ε_0 [rad]
- 15. $a = \sqrt{(\alpha R)^2 + 2R(\varepsilon_a - \varepsilon_0)} - \alpha R$ — dužina mazivog klina (slika 1) [m]
- 16. R_0, R_z, R_a — oznake hrapavosti površina
- 17. λ — korak u jednadžbi (12) $|\lambda| \approx 0,5 \cdot 10^{-6}$
- 18. A — tehnološki parametar [m^{-1}]
- 19. σ^2 — disperzija slučajne veličine
- 20. $P(\varepsilon_0^M)$ — red Sturmovih funkcija polinoma
- 21. $(\varepsilon_0^M)_N$ — približno rješenje kubne jednadžbe po Newtonovom metodu
- 22. R_2^{Gr} — teorijska hrapavost trake koja bi visinu mazivoga filma svela ispod monomolekularnog sloja, isključivši mazivo kao treće tijelo približavajući trenje »suhome«
- 23. p i p_0 — atmosferski pritisak i pritisak valjaka na traku [Pa]
- 24. x i y — koordinate Decartesovog sustava
- 25. dp/dx — gradijent pritiska u mazivom sloju uzduž osi x
- 26. i — oznaka za red prirodnih brojeva

LITERATURA

1. Mizuno T., Japon J. Soc. Techn. Plast 7(1966)66, 383—389.
2. Grudev A. P., Maksimenko O. P., Elementi gidrodinamičeskoj teoriji smazki pri prokatke, Izvestija Černaja Metallurgija 14(1971)7, 105—109.
3. Meleško V. I., Mazur V. L., Timošenko V. I., Postuplenie smazki v očag deformaciji pri prokatke, Izvestija Černaja Metallurgija 16(1973)10, 92—96.
4. Čurčija D., Mamuzić I., Doprinos određivanja sloja mazi-va kod hladnog valjanja, Tehnika-RGM 32(1981)10, 1459—1462.
5. Čurčija D., Mamuzić I., Utjecajni faktori na sloj maziva kod hladnog valjanja, Tehnika-RGM, 34(1983)8, 1075—1078.
6. Čurčija D., Utjecaj brzine valjanja na proces hladnoga valjanja sa mazivima, Železarski Zbornik 21(1987)3, 131—136.
7. Christensen H., Wear 17(1971)2, 149—162.
8. Mazur V. L., Timošenko V. I., Varivoda I. E., Vlijanie mikroreljefa valkov i polosii na postuplenie smazki v očag defor-macii pri prokatke, Soobščenie 2. Izvestija Černaja Metallurgija 20(1977)12, 72—76.
9. Grudev A. P., Tilič V. T., Tehnoloģičeskie smazki v pro-katnom proizvodstve, Metallurgija, Moskva 1975.
10. Čurčija D., Hladno valjanje sa mazivima, Diplomski rad, Metalurški fakultet Sisak 1986.
11. Bertolino M., Numerička analiza, Naučna knjiga, Beo-grad 1977.
12. Salvadori M., Baron M., Numerical Methods in Engi-neering, Prentice-Hall, 1961.
13. Mazur V. L., Timošenko V. I., Varivoda I. E., Effekti šero-hovatosti valkov i polosii pri prokatke so smazkoj, Izvestija Čer-naja Metallurgija 23(1980)9, 81—85.

ZUSAMMENFASSUNG

Lösungen für die Berechnung der Höhe des Schmierfilmes am Eintrittsquerschnitt der Verformungszone beim Kaltwalzverfahren werden gegeben. Es ist festgestellt worden, dass die Längsrauhigkeit am Band die Höhe des Schmiermittelfilmes im Vergleich zu den glatten Oberflächen der Walzen und des gewalzten Werkstoffes verringert. Jedoch ist diese Wirkung

schlecht ausgedrückt. Lösungen werden gegeben für einen laminären Schmiermittelfluss, für isotherme Verfahrensbedingungen, nichtzusammendrückbare und Newton Flüssigkeiten. Oberflächenerscheinungen an der Grenze fester Körper — Flüssigkeit sind nicht bearbeitet worden. Auch einige mathematische Erleichterungen bei der Berechnung werden gegeben.

SUMMARY

The equations to calculate the thickness of lubricant layer at the inlet cross section of the deformation zone in the cold rolling process are given. It was found that the longitudinal roughness of the strip reduces the thickness of the lubricant layer compared to that for the smooth surfaces of rolls and of rolled material.

However, this effect is not pronounced. Solutions are presented for the laminar flow of lubricant, for isothermal conditions of technologic process, and for incompressible and Newtonian fluids. The surface phenomena at the solid-liquid boundary are not taken in account. Also some mathematical simplifications in calculations are presented.

ЗАКЛЮЧЕНИЕ

Поданы решения для высчитывания высоты смазочной плёнки на входном сечении зоны деформации при процессе холодной прокатки. Определено, что продольная шероховатость ленты уменьшает высоту смазочной плёнки в отношении на глаткие поверхности валков и прокатного материала, хотя этот эффект недостаточно выражен. Решения поданы:

для ламинарный поток смази, изотермические условия технологического процесса, для несжимаемые плёнки и для плёнки Ньютона. В статье представлены некоторые математические облегчения при выполнении расчёта. Нерассмотрены же поверхностные явления на границе жесткое тело — жидкость.